

## B<sub>2</sub>O<sub>3</sub> 와 CuO가 첨가된 Ba(Mg<sub>1/3</sub>Nb<sub>2/3</sub>)O<sub>3</sub> 세라믹스의 저온소결과 마이크로파 유전특성 연구

임종봉, 손진옥, 남산<sup>1</sup>, 유명재<sup>1</sup>, 이우성<sup>1</sup>, 강남기<sup>1</sup>, 이학주<sup>2</sup>

고려대학교, 전자부품연구원<sup>1</sup>, 한국표준과학연구원<sup>2</sup>

### Low-Temperature Sintering and Microwave Dielectric Properties of the B<sub>2</sub>O<sub>3</sub>- and CuO-added Ba(Mg<sub>1/3</sub>Nb<sub>2/3</sub>)O<sub>3</sub> Ceramics

Jong-Bong Lim, Jin-Ok Son, Sahn Nahm<sup>1</sup>, Woo-Sung Lee<sup>1</sup>, Nam-Kee Kang<sup>1</sup> and Hwack-Joo Lee<sup>2</sup>

Korea Uni., KETI<sup>1</sup>, KRISS<sup>2</sup>

#### Abstract

B<sub>2</sub>O<sub>3</sub> added Ba(Mg<sub>1/3</sub>Nb<sub>2/3</sub>)O<sub>3</sub> (BBMN) ceramics were not sintered below 900°C. However, when CuO was added to the BMMN ceramic, it was sintered even at 850°C. The amount of the Ba<sub>2</sub>B<sub>2</sub>O<sub>5</sub> second phase decreased with the addition of CuO. Therefore, the CuO additive is considered to react with the B<sub>2</sub>O<sub>3</sub> inhibiting the reaction between B<sub>2</sub>O<sub>3</sub> and BaO. Moreover, it is suggested that the solid solution of CuO and B<sub>2</sub>O<sub>3</sub> might be responsible for the decrease of the sintering temperature of the specimens. A dense microstructure without pores was developed with the addition of a small amount of CuO. However, a porous microstructure with large pores was formed when a large amount of CuO was added. The bulk density, the dielectric constant ( $\epsilon_r$ ) and the Q-value increased with the addition of CuO but they decreased when a large amount of CuO was added. The variations of those properties are closely related to the variation of the microstructure. The excellent microwave dielectric properties of  $Q_{xf}=21500$  GHz,  $\epsilon_r=31$  and temperature coefficient of resonance frequency( $\tau_r$ )=21.3 ppm/°C were obtained for the Ba(Mg<sub>1/3</sub>Nb<sub>2/3</sub>)O<sub>3</sub>+2.0 mol% B<sub>2</sub>O<sub>3</sub>+10.0 mol% CuO ceramic sintered at 875°C for 2h.

**KeyWords :** Ba(Mg<sub>1/3</sub>Nb<sub>2/3</sub>)O<sub>3</sub>, B<sub>2</sub>O<sub>3</sub>, CuO, LTCC, microwave dielectric property

#### 1. 서 론

마이크로파 유전체는 낮은 손실값, 안정된 공진주파수 온도계수 및 높은 유전율 등의 특성들이 요구되고 있다. 하지만 최근 휴대용 통신기기에 사용되는 적층형 유전체 필터 및 캐패시터등의 소비용 유전체는 위의 세 가지 요구특성 외에 은(Ag: 96.1°C)이나 구리(Cu: 1060°C)를 내부전극으로 사용하기 때문에 900°C 이하의 저온 소결성이 요구되고 있다.[1,2]

복합페롭스카이트 세라믹스는 우수한 유전특성 때문에 고주파 유전체 재료로 많은 연구가 되어왔다.[3-5] Ba(Mg<sub>1/3</sub>Nb<sub>2/3</sub>)O<sub>3</sub>(BMMN) 세라믹스는 품질계수( $Q \times f$ )=56000 GHz, 유전율( $\epsilon_r$ )=32 그리고 공진주파수 온도계수( $\tau_r$ )가 33ppm/°C의 우수한 유전특성을 가지고 있다.[6] 하지만 우수한 마이크로파 유전특성을 가지고 있음에도 불구하고, BMMN 세라믹

스의 저온소결에 대한 연구는 거의 이루어지지 않았다. 최근 B<sub>2</sub>O<sub>3</sub>를 첨가하여 BMMN(BBMN) 세라믹스의 소결온도를 930°C로 감소시켰다.[7] 그러나 BMMN의 소결온도를 900°C 이하로 낮추기는 못하였다.

본 연구에서는 CuO를 첨가하여 BMMN 세라믹스의 소결온도를 900°C 이하로 낮추고 그에 따른 미세구조와 마이크로파 유전특성에 관하여 연구하였다.

#### 2. 실험

BBMN+xCuO(0.5≤x≤30.0 mol%)는 일반적인 고상합성법을 이용하여 >99% 순도의 산화물로부터 제조하였다. BaCO<sub>3</sub>(고순도 화학, >99%, 일본), MgO(고순도 화학, >99%, 일본) 그리고 Nb<sub>2</sub>O<sub>5</sub>(고순도 화학, >99%, 일본)의 혼합물을 지르코니아 볼

과 알코올이 들어있는 나일론 jar에 넣어 24시간 동안 1차 밀링 후 건조하였다. 상합성을 위해 알루미나 도가니에 넣어 1200°C에서 4시간동안 하소하였다. BMN 파우더에  $B_2O_3$  와 CuO(준세이 화학, 일본)를 첨가하여 24시간 동안 2차 밀링 후 건조하였다. 충분히 전조된 혼합물을 1500kg/cm<sup>2</sup>의 압력을 가하여 실린더모양의 시편을 만들어 850~900°C에서 2시간동안 소결하였다. 시편의 미세구조는 X 선 회절기(Rigaku D/max-RC, 일본), 투과전자현미경(TEM:Hitachi H-9000NAR Ibaraki, 일본) 그리고 전자현미경(SEM:Hitach S-4300, 일본)을 사용하여 분석하였다. 시편의 밀도는 water-immersion 법(ASTM STD C373-72)을 이용하여 측정하였다. 유전특성은 Network-analyzer를 사용하여 Hakki-Colemann의 평행 도체판법(dielectric post-resonator technique)과 공진 캐비티법(resonant cavity method)을 사용하여 측정하였다.[8,9] 공진주파수의 온도계수는 25~80°C의 온도영역에서 공진주파수를 측정하였다.

### 3. 결과 및 고찰

그림 1은 BMN+10.0 mol% $B_2O_3$ +xCuO( $2.0 \leq x \leq 15.0$  mol%) 세라믹스의 X선 회절 패턴을 보여주고 있다. 소량의 CuO를 BBMN에 첨가한 경우,  $Mg_4Nb_2O_9$  와  $Ba_2B_2O_5$ 의 이차상이 확인되었다. 그러나 CuO가 증가되면서 이차상이 감소하고,  $x > 5.0$  mol%에서는 완전히 사라지는 것을 알 수 있다. 또한  $x > 10.0$  mol%에서 CuO상이 생성되었다.  $B_2O_3$ 를 BMN에 첨가하였을 경우,  $B_2O_3$ 가 BaO와 반응하여  $Ba_2B_2O_5$  이차상을 형성하였고,  $Ba_2B_2O_5$  이차상의 형성이 BMN 세라믹스의 소결온도를 감소 시켰다.[7] 그러나 CuO를 첨가하였을 경우,  $Ba_2B_2O_5$  이차상이 감소하였다. 그러므로 CuO가  $B_2O_3$ 와 반응하여  $Ba_2B_2O_5$  이차상 형성을 억제하는 것으로 생각된다. 또한 BBMN 세라믹스는 930°C 이하에서 소결이 잘 되지 않지만, CuO를 첨가하였을 경우, 850°C 까지 소결이 가능하였다. 즉,  $Ba_2B_2O_5$  이차상의 존재만으로 930°C 이하의 BMN 세라믹스 소결을 설명할 수 없다. BMN 세라믹스에 CuO만 첨가한 경우, 950°C에서 소결되지 않았다. 한편, 상태도에서  $CuB_8O_{13}$ 상의 경우 용융온도가 약 750°C인 것을 확인할 수 있다.[10] 그러므로 X선 회절 패턴을 통해서는 확인 할 수 없었지만, CuO와  $B_2O_3$ 의 반응으로 형성된 CuO- $B_2O_3$  고용체가 900°C 이하의 소결온도에서 BBMN 세라믹스의 치밀화에 기여한 것으로 사료된다.

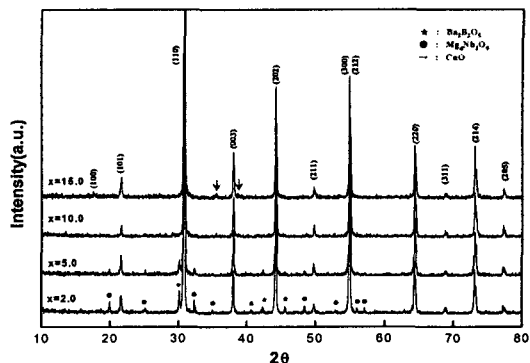


그림 1. 900°C에서 2시간 소결한 BMN+10.0 mol%  $B_2O_3$ +xCuO( $2.0 \leq x \leq 15.0$  mol%) 세라믹스의 X선 회절 패턴.

그림 2는 BMN+2.0 mol% $B_2O_3$ +10.0 mol%CuO 세라믹스의 TEM 명시야상을 보여주고 있다. 삽입 그림은 동일한 영역에서 얻은 전자회절 패턴을 나타내고 있다. 이것을 통해 CuO가 첨가된 BBMN 세라믹스가 1:2 규칙화(화살표)를 형성하고 있으며, 또한 1:2 규칙화된 육방정 구조가 유지되고 있는 것을 확인 하였다. 시편의 평균 입자크기는 약 100 nm로서 매우 작은 것을 알 수 있다.



그림 2. 900°C에서 2시간 소결한 BMN+2.0 mol%  $B_2O_3$ +10.0 mol%CuO 세라믹스의 TEM 명시야상.

그림 3에 BMN+2.0 mol% $B_2O_3$ +xCuO( $0.0 \leq x \leq 20.0$  mol%) 세라믹스의 파과단면을 나타내었다. TEM 이미지에서 보았듯이, 시편의 입자크기가 매우 작기 때문에 SEM 이미지를 통해 단일 입자들을 확인할 수 없었다.  $B_2O_3$ 가 첨가된 BMN 세라믹스를 900°C에서 소결한 경우 많은 기공이 존재하는 것을 그림 3(a)의 미세구조를 통해 알 수 있다. 그

러나 CuO를 소량 첨가하였을 때, 치밀한 미세구조가 형성되었지만[그림 3(b)], 과량의 CuO가 첨가되었을 경우, 큰 기공들의 형성으로 인해 치밀화가 감소하는 것을 알 수 있다.[그림 3(c)] 그러므로 치밀한 미세구조를 얻기 위해서는 적당한 CuO 첨가량이 필요하다는 것을 알 수 있다.

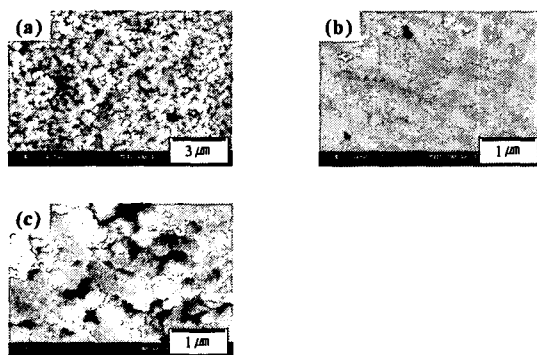


그림 3. BMN+2.0 mol% $B_2O_3+x$  mol%CuO 세라믹스의 SEM 이미지; (a)  $x=0.0(900^\circ C)$ , (b)  $x=10.0(875^\circ C)$ , (c)  $x=20.0(875^\circ C)$ .

그림 4에 BMN+2.0 mol% $B_2O_3+x$ CuO( $0.5 \leq x \leq 30.0$  mol%) 세라믹스의 밀도변화를 나타내었다. CuO의 첨가량에 따라 밀도가 증가하였다으며,  $x=10.0$  mol%에서 가장 높은 값을 나타내었다. 밀도의 증가는 미세구조의 치밀화에 기인한 것이다.  $x > 10.0$  mol% 부터 밀도가 감소하는 이유는 기공의 형성으로 인하여 미세구조의 치밀화가 감소했기 때문이다.[그림 3(c)]

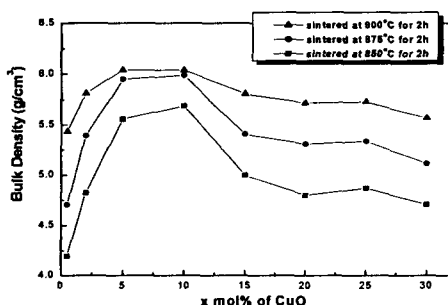


그림 4. BMN+2.0 mol% $B_2O_3+x$ CuO( $0.5 \leq x \leq 30.0$  mol%) 세라믹스의 밀도 변화.

그림 5는 BMN+2.0 mol% $B_2O_3+x$ CuO( $0.5 \leq x \leq 30.0$  mol%) 세라믹스의 온도에 따른 유전특성변화

를 나타내고 있다. 유전율의 경우, CuO의 첨가량에 따라 유전율이 급격히 증가하였으며,  $x=10.0$  mol%에서 가장 높은 값을 나타내었다.  $x=10.0$  mol% 첨가된 시편을 875°C에서 소결한 경우, 약 31 정도의 높은 유전율( $\epsilon_r$ )값을 얻을 수 있었으며, 이는 1450°C의 고온에서 소결한 BMN의 유전율에 가까운 값이다. 과량의 CuO가 첨가되면 유전율은 감소하는데, 그 이유는 기공의 형성으로 치밀화의 감소 때문으로 사료된다.

시편의 품질계수( $Q \times f$ )는 소결온도와 CuO 첨가량의 증가에 따라 증가하였다. 850°C에서 소결된 BMN+2.0 mol% $B_2O_3+x$ CuO( $0.5 \leq x \leq 30.0$  mol%) 세라믹스의 경우 높은 품질계수( $Q \times f$ )를 얻을 수 있었다. 그러나 과량의 CuO의 첨가시 품질계수( $Q \times f$ )가 감소하였다. 품질계수( $Q \times f$ )의 변화가 밀도변화와 유사하다. 그러므로 시편의 밀도가 품질계수( $Q \times f$ )에 중요한 영향을 미치고 있는 것을 알 수 있다.

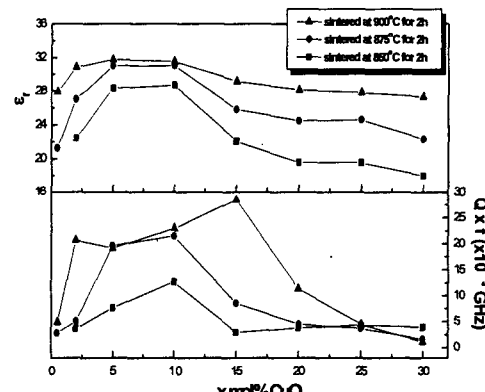


그림 5. BMN+2.0 mol% $B_2O_3+x$ CuO( $0.5 \leq x \leq 30.0$  mol%) 세라믹스의 유전특성 변화.

그림 6은 875°C와 900°C에서 소결한 시편의 CuO에 따른 공진주파수 온도계수( $\tau_f$ )의 변화를 나타내고 있다. 900°C에서 소결한 BMN+2.0 mol% $B_2O_3+0.5$  mol%CuO 세라믹스의  $\tau_f$ 는 25.7 ppm/°C이고, CuO 첨가에 따른  $\tau_f$ 의 변화는 거의 없었다. 가장 좋은 품질계수( $Q \times f$ )=21500 GHz와 유전율( $\epsilon_r$ )=31을 나타내는 BMN+2.0 mol% $B_2O_3+10.0$  mol% CuO 세라믹스의  $\tau_f$ 는 21.3 ppm/°C이었다. 따라서  $B_2O_3$ 와 CuO가 첨가된 BMN 세라믹스는 저온 소결 세라믹스로서 가능성성이 충분한 것을 알 수 있다.

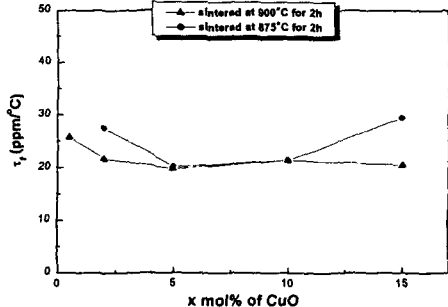


그림 6.  $\text{BMN} + 2.0 \text{ mol\%B}_2\text{O}_3 + x\text{CuO}$  ( $0.5 \leq x \leq 15.0 \text{ mol\%}$ ) 세라믹스의 공진주파수 온도계수.

#### 4. 결 론

$\text{B}_2\text{O}_3$ 와  $\text{CuO}$ 의 첨가에 따른 BMN 세라믹스의 소결온도와 마이크로파 유전특성에 미치는 영향에 대해 연구하였다.  $\text{B}_2\text{O}_3$ 가 첨가된 BMN은  $930^\circ\text{C}$  이하에서 소결되지 않았다. 그러나  $\text{CuO}$ 와  $\text{B}_2\text{O}_3$ 를 함께 첨가하였을 경우, BMN의 소결이  $850^\circ\text{C}$ 에서도 가능하였다.  $\text{B}_2\text{O}_3$ 를 첨가하였을 때 형성되는  $\text{Ba}_2\text{B}_2\text{O}_5$  이차상은  $\text{CuO}$ 의 첨가에 따라 감소하였다. 그러므로  $900^\circ\text{C}$  이하에서  $\text{CuO}$ 와  $\text{B}_2\text{O}_3$ 의 반응으로 형성된  $\text{CuO-B}_2\text{O}_3$  고용체가 시편의 소결에 기여한 것으로 추측된다.  $\text{CuO}$ 의 첨가에 따라 시편의 미세구조가 치밀화 되었지만 과량의  $\text{CuO}$  첨가시 기공의 형성으로 치밀화가 감소하였다. 밀도, 유전율 그리고 품질계수는 적은 양의  $\text{CuO}$  첨가에 따라 증가하였지만, 과량의  $\text{CuO}$  첨가시 오히려 감소하였다.  $875^\circ\text{C}$ 에서 2시간 소결한  $\text{BMN} + 2.0 \text{ mol\%B}_2\text{O}_3 + 10.0 \text{ mol\%CuO}$  세라믹스는  $\epsilon_r = 31$ ,  $Q \times f = 21500 \text{ GHz}$  그리고  $\tau_f = 21.3 \text{ ppm/}^\circ\text{C}$ 의 훌륭한 유전특성을 나타내었다.

#### 감사의 글

본 연구는 과학기술부의 나노핵심기반기술개발사업비로 수행하였습니다..

#### 참고 문현

- [1] T. Okawa: Sumitomo Search, Vol. 47, p. 117, (1991).
- [2] T. Takada, S. F. Wang, S. Yoshikawa, S. J. Jang, and R. E. Newham: J. Am. Ceram. Soc., Vol. 77, p. 2485, (1994).
- [3] S. Nomura and K. Kaneta: Jpn. J. Appl. Phys., Vol. 21, p. L624, (1982).
- [4] S. Kawashima, M. Nishida, I. Ueda, and H. Ouchi: Proc. Ferroelect. Mater. Appl., Vol. 1, p. 293, (1977).
- [5] S. B. Desu and H. M. O'Bryan: J. Am. Ceram. Soc., Vol. 68, p. 546, (1985).
- [6] S. Nomura: Ferroelectrics, Vol. 49, p. 61, (1983).
- [7] J. B. Lim, J. O. Son, S. Nahm, W. S. Lee, M. J. Yoo, N. K. Kang, H. J. Lee and Y. S. Kim: accepted in Jpn. J. Appl. Phys..
- [8] B.W. Hakki and P.D. Coleman: IEEE Trans. Microwave Theory Tech., Vol. 8, p. 402, (1960).
- [9] W. E. Courtney: IEEE Trans. Microwave Theory Tech., Vol. 18, p. 476, (1970).
- [10] N. S. Shuster, Kh. L. K. Zelnalova, and M. I. Zargarova: Russ. J. Inorg. Chem., Vol. 35, No. 1, p. 151, (1990).